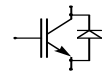


Technische Information / Technical Information

IGBT-Module
IGBT-Modules

BSM 75 GB 60 DLC

eupec



Höchstzulässige Werte / Maximum rated values

Elektrische Eigenschaften / Electrical properties

Kollektor-Emitter-Sperrspannung collector-emitter voltage		V_{CES}	600	V
Kollektor-Dauergleichstrom DC-collector current	$T_c = 75^\circ\text{C}$	$I_{C,nom.}$	75	A
	$T_c = 25^\circ\text{C}$	I_C	100	A
Periodischer Kollektor Spitzenstrom repetitive peak collector current	$t_p = 1\text{ms}, T_c = 75^\circ\text{C}$	I_{CRM}	150	A
Gesamt-Verlustleistung total power dissipation	$T_c = 25^\circ\text{C}$, Transistor	P_{tot}	355	W
Gate-Emitter-Spitzenspannung gate-emitter peak voltage		V_{GES}	+/- 20V	V
Dauergleichstrom DC forward current		I_F	75	A
Periodischer Spitzenstrom repetitive peak forw. current	$t_p = 1\text{ms}$	I_{FRM}	150	A
Grenzlastintegral der Diode I^2t - value, Diode	$V_R = 0\text{V}, t_p = 10\text{ms}, T_{vj} = 125^\circ\text{C}$	I^2t	450	A^2s
Isolations-Prüfspannung insulation test voltage	RMS, $f = 50\text{Hz}, t = 1\text{min.}$	V_{ISOL}	2,5	kV

Charakteristische Werte / Characteristic values

Transistor / Transistor

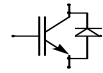
			min.	typ.	max.	
Kollektor-Emitter Sättigungsspannung collector-emitter saturation voltage	$I_C = 75\text{A}, V_{GE} = 15\text{V}, T_{vj} = 25^\circ\text{C}$	$V_{CE\text{ sat}}$	-	1,95	2,45	V
	$I_C = 75\text{A}, V_{GE} = 15\text{V}, T_{vj} = 125^\circ\text{C}$		-	2,20	-	V
Gate-Schwellenspannung gate threshold voltage	$I_C = 1,5\text{mA}, V_{CE} = V_{GE}, T_{vj} = 25^\circ\text{C}$	$V_{GE(th)}$	4,5	5,5	6,5	V
Eingangskapazität input capacitance	$f = 1\text{MHz}, T_{vj} = 25^\circ\text{C}, V_{CE} = 25\text{V}, V_{GE} = 0\text{V}$	C_{ies}	-	3,3	-	nF
Rückwirkungskapazität reverse transfer capacitance	$f = 1\text{MHz}, T_{vj} = 25^\circ\text{C}, V_{CE} = 25\text{V}, V_{GE} = 0\text{V}$	C_{res}	-	0,3	-	nF
Kollektor-Emitter Reststrom collector-emitter cut-off current	$V_{CE} = 600\text{V}, V_{GE} = 0\text{V}, T_{vj} = 25^\circ\text{C}$	I_{CES}	-	1	500	μA
	$V_{CE} = 600\text{V}, V_{GE} = 0\text{V}, T_{vj} = 125^\circ\text{C}$		-	1	-	mA
Gate-Emitter Reststrom gate-emitter leakage current	$V_{CE} = 0\text{V}, V_{GE} = 20\text{V}, T_{vj} = 25^\circ\text{C}$	I_{GES}	-	-	400	nA

prepared by: Andreas Vetter

date of publication: 2000-04-26

approved by: Michael Hornkamp

revision: 1



Charakteristische Werte / Characteristic values

Transistor / Transistor

			min.	typ.	max.	
Einschaltverzögerungszeit (ind. Last) turn on delay time (inductive load)	$I_C=75A, V_{CC}=300V$	$t_{d,on}$	-	63	-	ns
	$V_{GE}=\pm 15V, R_G=3,0\Omega, T_{vj}=25^\circ C$					
	$V_{GE}=\pm 15V, R_G=3,0\Omega, T_{vj}=125^\circ C$			65		
Anstiegszeit (induktive Last) rise time (inductive load)	$I_C=75A, V_{CC}=300V$	t_r	-	22	-	ns
	$V_{GE}=\pm 15V, R_G=3,0\Omega, T_{vj}=25^\circ C$					
	$V_{GE}=\pm 15V, R_G=3,0\Omega, T_{vj}=125^\circ C$			25		
Abschaltverzögerungszeit (ind. Last) turn off delay time (inductive load)	$I_C=75A, V_{CC}=300V$	$t_{d,off}$	-	155	-	ns
	$V_{GE}=\pm 15V, R_G=3,0\Omega, T_{vj}=25^\circ C$					
	$V_{GE}=\pm 15V, R_G=3,0\Omega, T_{vj}=125^\circ C$			170		
Fallzeit (induktive Last) fall time (inductive load)	$I_C=75A, V_{CC}=300V$	t_f	-	20	-	ns
	$V_{GE}=\pm 15V, R_G=3,0\Omega, T_{vj}=25^\circ C$					
	$V_{GE}=\pm 15V, R_G=3,0\Omega, T_{vj}=125^\circ C$			35		
Einschaltverlustenergie pro Puls turn-on energy loss per pulse	$I_C=75A, V_{CC}=300V, V_{GE}=15V$ $R_G=3,0\Omega, T_{vj}=125^\circ C, L_\sigma=30nH$	E_{on}	-	0,7	-	mJ
Abschaltverlustenergie pro Puls turn-off energy loss per pulse	$I_C=75A, V_{CC}=300V, V_{GE}=15V$ $R_G=3,0\Omega, T_{vj}=125^\circ C, L_\sigma=30nH$	E_{off}	-	2,4	-	mJ
Kurzschlußverhalten SC Data	$t_p \leq 10\mu sec, V_{GE} \leq 15V$ $T_{vj} \leq 125^\circ C, V_{CC}=360V, V_{CEmax} = V_{CES} - L_{\sigma CE} \cdot di/dt$	I_{SC}	-	340	-	A
Modulinduktivität stray inductance module		$L_{\sigma CE}$	-	40	-	nH
Modul-Leitungswiderstand, Anschlüsse - Chip lead resistance, terminals - chip	$T_c=25^\circ C$	R_{CC+EE}	-	1,2	-	mΩ

Charakteristische Werte / Characteristic values

Diode / Diode

			min.	typ.	max.	
Durchlaßspannung forward voltage	$I_F=75A, V_{GE}=0V, T_{vj}=25^\circ C$	V_F	-	1,25	1,6	V
	$I_F=75A, V_{GE}=0V, T_{vj}=125^\circ C$			1,20	-	V
Rückstromspitze peak reverse recovery current	$I_F=75A, -di_F/dt=3000A/\mu sec$	I_{RM}	-	95	-	A
	$V_R=300V, V_{GE}=-10V, T_{vj}=25^\circ C$ $V_R=300V, V_{GE}=-10V, T_{vj}=125^\circ C$			115	-	A
Sperrverzögerungsladung recovered charge	$I_F=75A, -di_F/dt=3000A/\mu sec$	Q_r	-	5,1	-	μC
	$V_R=300V, V_{GE}=-10V, T_{vj}=25^\circ C$ $V_R=300V, V_{GE}=-10V, T_{vj}=125^\circ C$			7,9	-	μC
Abschaltenergie pro Puls reverse recovery energy	$I_F=75A, -di_F/dt=3000A/\mu sec$	E_{rec}	-	-	-	mJ
	$V_R=300V, V_{GE}=-10V, T_{vj}=25^\circ C$ $V_R=300V, V_{GE}=-10V, T_{vj}=125^\circ C$			2,3	-	mJ